

セントラル・リサーチ・センター(株) 正員 武田 洋  
 ○渡辺 隆文  
 ○斎藤 昭弘

## 1. 序文

今日では構造解析の分野において多くの線形問題に対する静的および動的解析は日常的に行なわれており、さらに非線形問題へのアプローチも大きな中心課題の一つである。しかし現状では非線形問題のために費やすなければならない時間と労力は線形問題に比較して格段の差があり、ややもすると大の労力と時間を費やした結果が全く使い切らなくなってしまう場合がある。この原因としては非線形問題に対する離散モデルの組み立ての不正確さ、即ち種々の誤差を生じる可能性を多くもつことがある。ここでは材料非線形および幾何学的非線形問題について、離散化誤差、収束誤差および数値誤差の傾向について数値実験とともに論じる。

## 2. 材料 非線形問題

### 2-1 縮小化誤差について

有限要素モデルの平衡方程式は一般に増分形で次のように表わせる。

$$(K^{(e)} - K^{(p)}) \Delta U = \Delta R \quad (1)$$

ここで  $K^{(e)}$  は定数項、 $K^{(p)}$  は非線形項である。(1)式の解  $U = \frac{n}{2} \Delta U$ 、( $n$  は荷重ステップ数) とし真の解を  $\bar{U}$  としたとき次式が常に成り立つならば適合近似である。ここではまず縮小化誤差について検討する。

$$\lim_{m \rightarrow \infty} \| \bar{U} - U_m \| \rightarrow 0 \quad m: \text{要素分割の数} \quad (2)$$

図-1, 2 に数値計算モデルおよび物性値と寸法を示した。荷重は最大応力の降伏時荷重の 2 倍まで載荷し初期荷重法により計算した。荷重増分は降伏時荷重の 0.1, 0.2, 0.3 倍の 3 ケースを行った。図-3 では荷重一直応力の関係を分割数を変えた場合、図-4 は同じく荷重増分を変えた場合のものである。図-3 から明らかのように 3, 6 要素とも分割数が増えるに従い最も細いモデルの結果に収束する傾向を示しており、これは線形解析と類似している。荷重増分の結果に対する影響は図-4 よりないことが明らかであり両者の相違は最終的な結果を得る場合の全繰り返し数に出てくる。

### 2-2 数値誤差について

数値的な誤差の生ずる要因を検討するに当たり第一にひずみ関係を次のようく表わす。オイラー項につ

$$\Delta \sigma = \left[ I - \frac{E \frac{\partial \bar{\epsilon}}{\partial \sigma} (\frac{\partial \bar{\epsilon}}{\partial \sigma})^T}{H' + (\frac{\partial \bar{\epsilon}}{\partial \sigma})^T E \frac{\partial \bar{\epsilon}}{\partial \sigma}} \right] E \Delta \epsilon \quad (3)$$

いて、 $H' = \frac{\partial \bar{\epsilon}}{\partial \sigma} / \eta_p \ll E$  のとき、接線剛性法では数値的に条件が悪くなる。また弾性一塑性領域中に存在する場合には剛性マトリックスの条件数は悪くなり数値誤差の生ずる要因となる。<sup>(1)</sup> 初期荷重法では収束性のすこい問題が生じてくる。

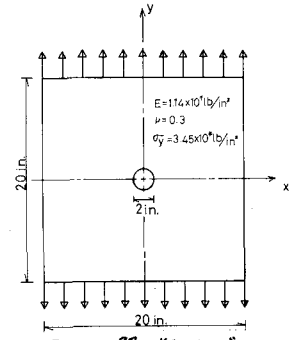


図-1 解析モデル

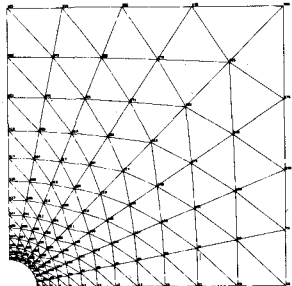


図-2 有限要素モデル

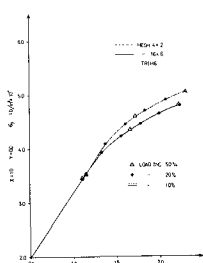


図-4 荷重一直応力の関係

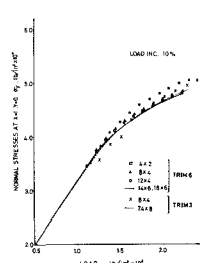


図-3 荷重一直応力の関係

## 2-3 収束性について<sup>[2]</sup>

初期荷重法における繰り返し数と荷重増分との関係を表-1に示した。表より最終状態の解を得る場合には荷重増分を粗くとることにより繰り返し計算の数を減らすとともに計算時間の節減が可能であることがわかる。

MESH	LOAD									
	1.0	1.1	1.2	1.3	1.4	1.5	1.6	1.7	1.8	2.0
L	0.1	7	7	8	9	12	13	11	11	14
A	0.2		7		8		13		12	16
D	0.5					11				16

表-1 荷重増分と繰り返し数

## 3. 幾何学的非線形問題

### 3-1 考えられる誤差の要因

大規模な問題の場合、繰り返し法で収束させる計算は、経済上不可能になる場合が多い。それ故、ここでは増分法を用いた場合について考察する。

幾何学的非線形において、Lagrangian Formulationに基づいて有限要素式を導き、これを表わすと、 $(K_0 + K_u + K_o)dU = dR$  となる。適合近似であるとすれば  $\lim_{m \rightarrow \infty} \| \bar{U}_m - U_m \| \rightarrow 0$  であろう。線形解析において、適合要素を用いれば  $\lim_{m \rightarrow \infty} \| \bar{U}_m - U_m \| \rightarrow 0$  は明らかである。このことはまた非線形項  $K_u, K_o$  より良い物にすると思われる。ここで上式を増分形で表示すると離散化誤差として、荷重方向の分割もまた問題になるであろう。それ故、増分形による幾何学的非線形解析においては  $\lim_{\Delta R \rightarrow 0} \| \bar{U}_N - U_N \| \rightarrow 0$  と推測される。次にこのことを数値実験の結果から検討する。

### 3-2 数値実験と考察

幾何学的非線形解析を行う構造モデルとして、ここでは軸対称シェル・エレメントを用い、球の一部を切り出したモデルを考え、種々 Node1 図 1, 2, および 3(共通)に集中荷重を載荷したときの、その時の変位に着目した。この数値実験においては、弾性一幾何学的非線形とし、パラメーターとしては、 $\lim_{m \rightarrow \infty} \| \bar{U}_N - U_N \| \rightarrow 0$  を確かめるために、要素分割数および荷重方向の分割数の 2 通りとした。図-1 に示してあるのは、 $\Delta R$  は一定とし  $m$  を大きくしていったときの荷重-変位曲線である。この図から分かるように、極端に  $m$  の小さい場合は除外して、ある一定値に着いて行く傾向をほしきりと把むことができる。図-2 に示してあるのは、図-1 とは逆に、 $m$  は一定とし  $\Delta R$  を小さくしていく時の図である。 $\Delta R$  は各増分毎一定とした。除々にある一定値に近づく様子が伺える。図-3 にはエレメント A より高次のエレメント B を加え、 $m$  を大きくしていったときの、各々の  $\Delta R = R = 10$  ポンド載荷時における Node1 の変位量の推移を示している。このシェル構造に対する 44通りの計算から、有限要素法を用いて、幾何学的非線形を行なう際は、構造物をある程度のメッシュに分割したならば、後は荷重増分の如何に依るのではないかと思われる。

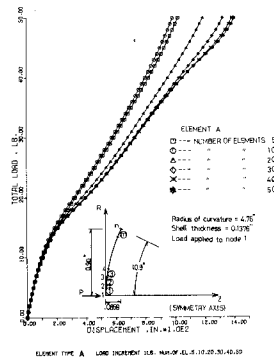


図-1

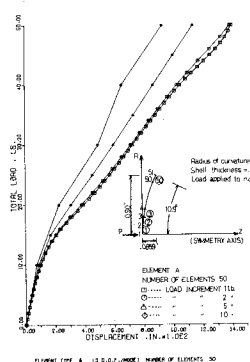


図-2

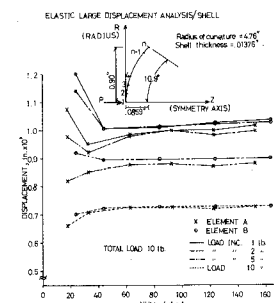


図-3

## 4. 参考文献

- [1] 武田洋“有限要素法と数値誤差について”日本学会、第26回年次学術講演会講演概要集
- [2] Y. Yamamoto “Rate of Convergence for the Iterative Approach in Elastic-plastic Analysis of Continua” Int. J. for Num. Method in Engineering. Vol. 7, 497-508 (1973)
- [3] 武田洋“非線形解析のコンピュータプログラムについて” 有限要素法の応用、日本鋼構造協会、1975